

02

## О фокусировке сферической рентгеновской волны изогнутым кристаллом в схеме Иоганна

© Т. Чен

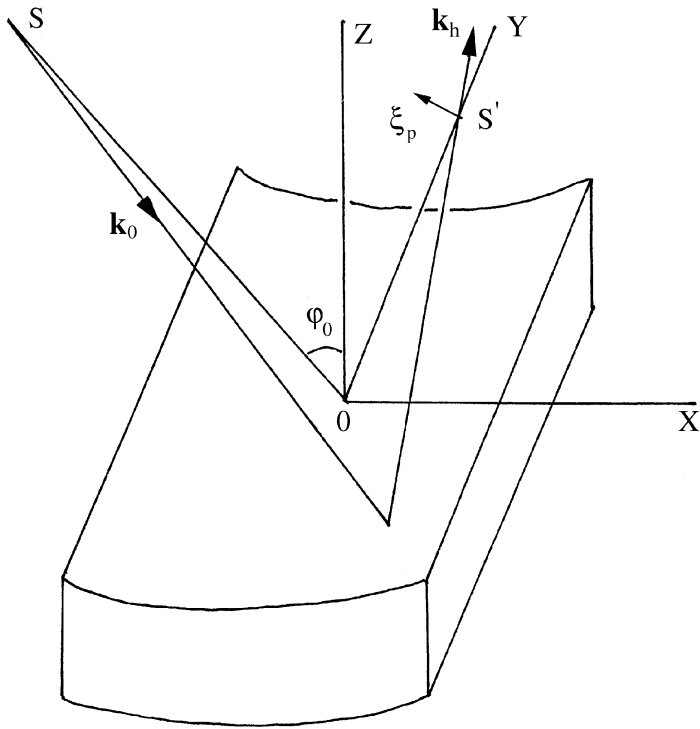
Московская государственная академия тонкой химической технологии  
им. М.В. Ломоносова  
E-mail: docent 65@mtu-net.ru

Поступило в Редакцию 28 апреля 2001 г.

Рассмотрена фокусировка сферического рентгеновского пучка при его брэгговском отражении от изогнутого кристалла в схеме Иоганна. Показано, что при учете влияния сферической аберрации пучка интенсивность волны в фокусе определяется квадратом модуля функции Эйри.

Фокусировка рентгеновского излучения в схеме Иоганна [1] является одной из наиболее известных и привлекательных возможностей получения пучков с большой светосилой. Особенностью этой схемы является то, что отражающие плоскости изогнутого кристалла в любой точке образуют один и тот же угол с плоскими гармониками падающей сферической волны. В случае, если не предпринять мер по коллимации пучка, сферическая аберрация брэгговски отраженных лучей может стать очень существенной.

В настоящей работе по аналогии с [2] на основе представлений геометрической оптики рассмотрена брэгговская фокусировка сферической рентгеновской волны изогнутым кристаллом (см. рисунок). Предполагается, что дифракционное отражение волны носит когерентный упругий характер, т.е.  $\mathbf{k}_0 + \mathbf{h} = \mathbf{k}_h$ ,  $k_h^2 = k_0^2 = k^2$ . Вектор  $\mathbf{h}$  обратной решетки



изогнутого кристалла равен:  $\mathbf{h}(h_x, h_y, h_z) = \mathbf{h}_0 - \nabla(\mathbf{h}_0 \mathbf{u})$ , где  $\mathbf{h}_0$  — вектор обратной решетки неизогнутого кристалла,  $h_0 = 2k \sin \theta$ ,  $\theta$  — брэгговский угол,  $\mathbf{u}(-xz/R_x, -yz/R_y \approx 0, x^2/2R_x + y^2/2R_y \approx x^2/2R_x)$ .

Учитывались все члены, пропорциональные  $x^2$ , где  $x$  — координата по оси  $X$  точки падения произвольного луча. Тогда направляющие косинусы для волнового вектора  $\mathbf{k}_0$  равны:

$$\begin{aligned} \gamma_{0x} = & \sin \varphi_0 + \frac{x}{L_0} \cos^2 \varphi_0 - \frac{x^2 \cos^2 \varphi_0}{L_0^2} \sin \varphi_0 \\ & - \frac{x^2 \sin \varphi_0 \cos \varphi_0}{2L_0^2} \left( \cos \varphi_0 - \frac{L_0}{R_x} \right), \end{aligned} \quad (1)$$

$$\begin{aligned}\gamma_{0y} &= \frac{y}{L_0} \left( 1 - \frac{x \sin \varphi_0}{L_0} - \frac{x^2 \cos \varphi_0}{2L_0^2} \left( \cos \varphi_0 - \frac{L_0}{R_x} \right) \right) = 0, \\ \gamma_{0z} &= -\cos \varphi_0 + \frac{x}{L_0} \sin \varphi_0 \cos \varphi_0 + \frac{x^2}{2R_x L_0} - \frac{x^2}{L_0^2} \sin^2 \varphi_0 \cos \varphi_0 \\ &\quad + \frac{x^2 \cos^2 \varphi_0}{2L_0^2} \left( \cos \varphi_0 - \frac{L_0}{R_x} \right), \\ h_x &= -2k \sin \theta (x \cos \Psi / R_x + \sin \Psi), \\ h_y &= -2k \sin \theta \cos \Psi \cdot y / R_y \approx 0, \\ h_z &= 2k \sin \theta (\cos \Psi - \sin \Psi \cdot x / R_x),\end{aligned}$$

где  $\Psi$  — угол наклона отражающих плоскостей к поверхности кристалла.

Фокусировка в схеме Иоганна является одномерной ( $R_y \gg R_x$ ), т.е. происходит в сагиттальной плоскости  $Y = 0$ .

Рассмотривая симметричную дифракцию, когда  $\Psi = 0$ ,  $\varphi_0 = \pi/2 - \theta$ , в случае произвольного расстояния  $L_0$  от источника сферической волны до кристалла получаем:

$$\begin{aligned}\Delta\theta &= \left| -\frac{x}{R_x} + \frac{x \sin \theta}{L_0} - \frac{x^2 (2 \sin^2 \theta - 1)}{2R_x L_0 \cos \theta} - \frac{x^2 \sin \theta \cos \theta}{L_0^2} \right. \\ &\quad \left. + \frac{x^2 \sin \theta}{2R_x^2 \cos \theta} + \frac{x^2 \sin^2 \theta}{2L_0^2 \cos \theta} \left( \sin \theta - \frac{L_0}{R_x} \right) \right|, \quad (2)\end{aligned}$$

где  $\Delta\theta = |\chi_{hr}| / \sin 2\theta$  — полуширина кривой брэгговского отражения,  $\chi_{hr}$  — рентгеновская поляризуемость. Когда  $L_0 \neq R_x \sin \theta$ , сферической aberrацией можно пренебречь, отбросив в (2) квадратичные по  $x$  члены. Тогда из (2) имеем, что размер  $x_{eff}$  области на поверхности кристалла, в пределе которой дифрагированный парциальный луч не "выходит" за границу области полного отражения, равен:

$$x_{eff} = \Delta\theta \left| \sin \theta / L_0 - 1 / R_x \right|^{-1}, \quad L_0 \neq R_x \sin \theta. \quad (3)$$

Для схемы Иоганна, когда  $L_0 = R_x \sin \theta$ , получаем:

$$x_{eff}^{Johann} = R_x \sqrt{2\Delta\theta \operatorname{tg} \theta}, \quad L_0 = R_x \sin \theta. \quad (4)$$

Из (3), (4) видно, что схема Иоганна позволяет получить выигрыш в светосиле на 2–3 порядка по сравнению с другими схемами, так как  $x_{eff}^{Johann} \sim (\Delta\theta)^{1/2}$ . Однако рост светосилы сопровождается увеличением сферической aberrации отраженных лучей. Оценка падения интенсивности в фокусе, вызванного сферической aberrацией в схеме Иоганна, дает при отражении (220) излучения  $\text{CuK}_\alpha$  от кристалла кремния, изогнутого с радиусом изгиба  $R_x \cong 1 \text{ m}$ , величину  $\sim 10^2$  раз.

Используя рентгено-дифракционный принцип Гюйгенса–Френеля и разлагая фазу сферической волны до членов  $\sim x^3$ , получим, что амплитуда  $E_h(\xi_p)$  дифрагированной волны в фокусе описывается функцией Эйри:

$$E_h(\xi_p) \sim \frac{2\sqrt{\pi}}{(3A_2)^{1/3}} \Phi\left(\frac{A_1}{\{3A_2\}^{1/3}}\right), \quad (5)$$

где

$$\begin{aligned} \Phi(t) &= (\sqrt{\pi})^{-1} \int_0^{+\infty} \cos\left(\frac{u^3}{3} + ut\right) du \\ &= (2\sqrt{\pi})^{-1} \int_{-\infty}^{\infty} \exp\{i(ut + u^3/3)\} du \end{aligned}$$

— функция Эйри,

$$A_1 = -k\xi_p/R_x, \quad A_2 = -k \cos \theta / 2R_x^2 < 0.$$

Интенсивность  $I_n(\xi_p) = |E_h(\xi_p)|^2$  дифрагированной волны в фокусе обращается в нуль при  $t_{\min} = -2.33811$ , т.е. там же, где равна нулю функция Эйри. При  $t < 0$  функция Эйри  $\Phi(t)$  имеет колебательный характер, а при  $t > 0$   $\Phi(t)$  монотонно убывает. Из (5) следует, что учет влияния сферической aberrации в схеме Иоганна приводит к несовпадению положения геометрического фокуса ( $\xi_p = 0$ ) и максимума интенсивности сфокусированной волны. Наибольший максимум функции Эйри, равный 0.9494, достигается при значении аргумента  $t_{\max} = -1.02$ . Для отражения (220) излучения  $\text{CuK}_\alpha$  от кристалла кремния,  $R_x \cong 1 \text{ m}$ , координата максимума интенсивности равна  $\xi_p^{\max} = -0.1 \mu\text{m}$ . Учтем, что  $\Phi(-2.34) = -0.0024$ ,  $\Phi(4.00) = 0.0016866$ . Тогда пространственная ширина максимума интенсивности  $\Delta\xi \approx 0.6 \mu\text{m}$  для тех же параметров, что и выше. Ширина фокуса на полувывоте интенсивности

$\gtrsim 0.1 \mu\text{m}$ . Дифракционное уширение без учета сферической аберрации, рассчитанное по формуле  $\Delta\xi = \lambda R_x/x_{eff}$ , взятой из работ [3,4] дает  $\Delta\xi \approx 1.5 \cdot 10^{-2} \mu\text{m}$ . В работах [3,4] авторами получено выражение для интенсивности дифрагированной волны в фокусе  $I_h \sim (\sin t/t)^2$ , которое не учитывает эффекта сферической аберрации. При этом для фазы падающей сферической волны использовано параболическое приближение и сделано допущение об ограничении размера области  $x_{eff}$  на поверхности кристалла длиной, начиная с которой становится существенным влияние аберрации на фокусировку.

Таким образом, в настоящей работе показано, что увеличение светосилы, достигаемое в схеме Иоганна, сопровождается ростом сферической аберрации дифрагированного пучка. Аналитическое выражение для распределения интенсивности в фокусе, полученное нами, отличается от формулы существовавшей ранее в теории брэгговской фокусировки, и учитывает эффект сферической аберрации.

## Список литературы

- [1] *Johann H.* // *Z. Physik.* 1931. Bd 60. S. 185.
- [2] *Чен Т., Бушуев В.А., Кузьмин Р.Н.* // *ЖТФ.* 1990. Т. 60. В. 10. С. 60–63.
- [3] *Габриелян К.Т., Чуховский Ф.Н., Пинскер З.Г.* // *ЖТФ.* 1980. Т. 50. № 1. С. 3–11.
- [4] *Габриелян К.Т., Чуховский Ф.Н., Пискунов Д.И.* // *ЖЭТФ.* 1989. Т. 96. В. 3(9). С. 834–846 .